

BOLETÍN MENSUAL

DEL

OBSERVATORIO DEL EBRO

Septiembre de 1923

Vol. XIV, N.º 9

I HELIOFÍSICA (1)

CARÁCTER GENERAL DEL MES

El grupo 1788 ha podido seguirse en nuestras placas desde su aparición el día 7 hasta que desaparece por el borde occidental el 19, después de haberse reunido en uno solo los dos núcleos que lo integraban: en su desarrollo máximo cubre 256 millonésimas del hemisferio solar. La mancha 1786, que en nuestras placas se ve el 31 de Agosto, desaparece el 10 y reaparece el 26. También es digna

de notarse la mancha o grupo n.º 1791, que aparece por el borde S oriental acompañada de un flóculo compacto. El número total de manchas observadas en las 26 placas obtenidas este mes es de 7 bien definidas y 3 dudosas: de ellas, las 1786 y 1787, pertenecen al nuevo ciclo.

El registro de las nubes de calcio ha permitido identificar 10 flóculos en los 24 espectroheliogramas obtenidos.

MANCHAS								FLOCCULI						
N	φ	λ merid. central	L 1 ^{er} merid.	ρ centésimas del rad.	S. M. mm ²	S. R. millo- nésim. del hem.	Clase	N	φ	λ merid. central	ρ centésimas del rad.	S. M. mm ²	S. R. cien. milésim. del hem.	Clase
1700								2900						
86	-29	-39	35	79	4,5	117	IIIa	40	-29	-38	78	64	163	cd (1786) w
87	+26	-47	27	75	0,8	19	I							
86	-28	-11	38	59	17,4	343	IIIa	40	-29	-14	62	112	227	c (1786) se
86	-28	+1	38	57	19,6	380	IIIa	40	-28	+1	57	134	260	c (1786) k
86	-27	+29	39	70	15,4	343	IIIa	40	-28	+29	70	150	335	c (1786) s
86	-28	+42	39	80	8,8	233	IIIa	40	-29	+41	80	132	350	c (1786) se
88	+22	-78	279	97	0,3	20	I	41	+21	-76	96	10	57	c (1788) sw
86	-27	+56	40	90	7,0	256	IVb	40	-29	+54	89	114	398	c (1786) se
88	+22	-62	282	88	3,9	130	IIc	41	+21	-62	88	36	121	c (1788) s
a	+21	-60	284	86	1,2	37		42	-25	0	53	8	15	c
b	+22	-65	279	90	2,2	80								
86	-27	+70	41	96	4,0	227	IVa	40	-30	+65	95	48	245	c (1786) se
88	+21	-47	284	74	10,8	256	IIa	41	+21	-47	74	84	199	c (1788) k
a	+21	-45	286	71	7,2	163		42	-25	+13	56	9	17	c
b	+22	-51	280	78	3,6	92		43	+31	+48	78	11	27	c
86	-27	+84	42	99	—	—	IVa	41	+21	-34	58	112	219	c (1788) e
88	+21	-33	285	57	9,7	188	IIa							
a	+21	-32	286	56	7,3	140								
b	+22	-38	280	64	2,4	50								

(1) Para los signos convencionales y algunas instrucciones, véase el Boletín del mes de Enero.

2.—SISMOLOGÍA

SISMÓGRAFOS	K	V	T ₀	ε:1	$\frac{r}{T_0^2}$	Masa, Kg
PRINCIPAL.	K _n	190	14,8	2,9	0,003	1500,9
	K _n	200	2,6		0,003	316,3
SECUNDARIOS.	K _e	63	7,8		0,003	156,7
	K _e	106	2,4		0,023	100
	K _z	240	0,8			50

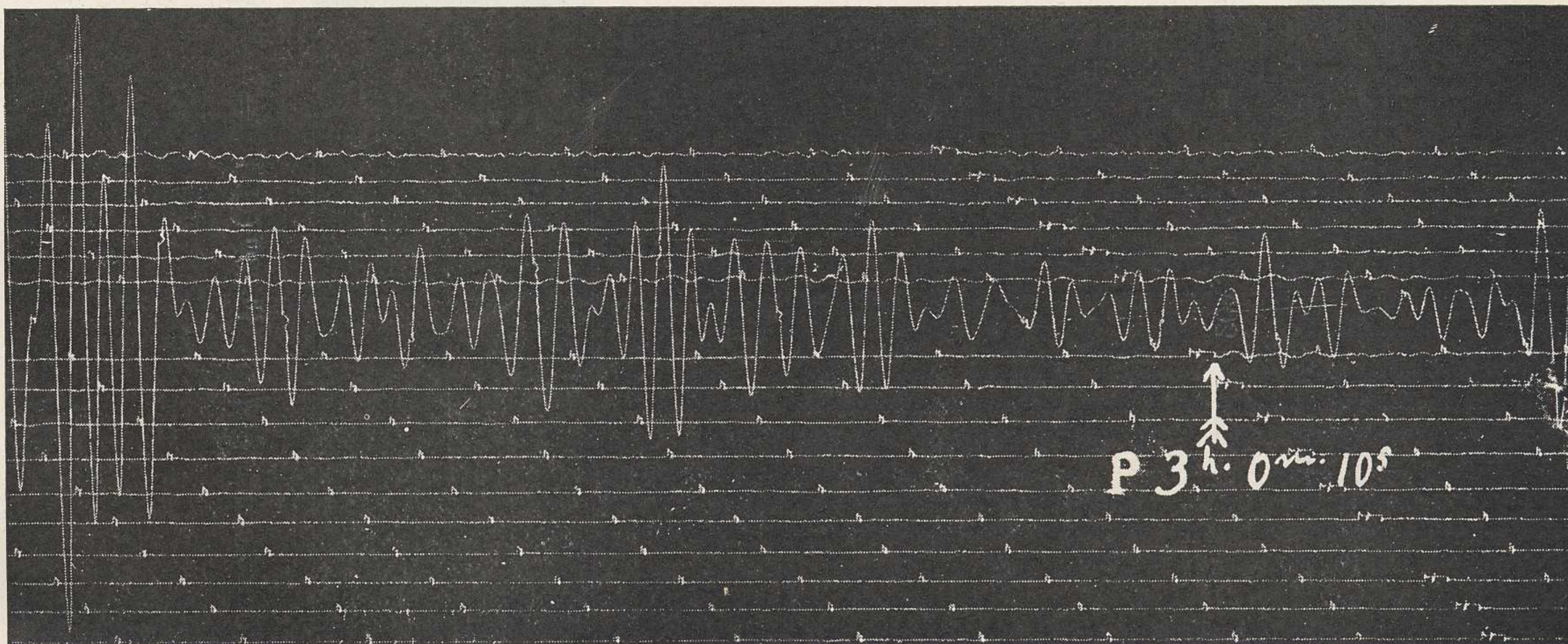
Velocidad del papel en todos los sismógrafos: 12 mm. por minuto. — Los datos horarios de las fases en cada componente se toman del sismógrafo que parece haberlos dado con más precisión, atendidas sus características.

REGISTRO DE TEMBLORES

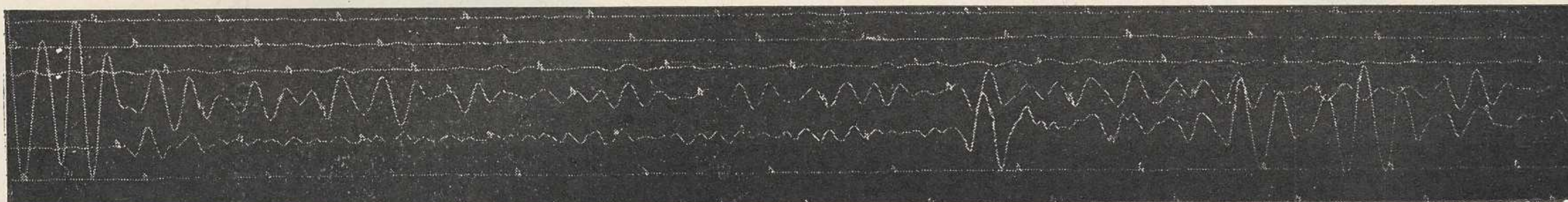
Número de orden	Fecha	Fase	Tiempo medio de Greenwich			Periodo	Amplitud A N	OBSERVACIONES
			h	m	s			
109	1	ePN	3	12	07		μ	Destructor en Tokio y Yokohama (Japón), con muchas víctimas.
		Pe		12	05			
		Pz		12	04			
		eSN		22	51			
		Se		22	40			
		Le		41	57			
		MN	4	03	19	17		
		Me	3	59	02	17		
		FN	8					
110	1	?Se	8	00				Réplica del n.º 109.
		eLN		17	17			
		MN		43	37	14		
		Me		38	29	12		
		FN	9	1/4				
111	2	PN	3	00	10			Réplica del n.º 109.
		Pe		00	10			
		SN		10	46			
		Se		10	47			
		eLN		29	19			
		eLe		31	17			
		MN		45	07	16		
		Me		44	57	15		
		FN	7	1/4				
112	2	ePN	9	40	17			Réplica del n.º 109.
		ePe		40	23			
		eSN		50	54			
		eSe		50	30			
		eLN	10	07				
		eLe		08				
		MN		27	51	22		
		Me		25	46	16		
		FN	11	1/2				
113	2	eLN	14	01				
		eLe		02				
		MN		09	14	15		
		FN	14	3/4				
114	2	eLN	15	09				
		MN		16	57	16		
		FN	15	1/2				
115	2	PN	22	50	41			
		Pe		50	37			
		iSN	23	00	51			
		iSe		00	49			
		LN		12	26			
		eLe		14				
		MN		13	27	17		
		Me		20	57	17		
		FN	0					
116	9	PN	11	35	27			Sentido en el valle de Ribas y en Nuria (Gerona).
		Pe		35	30			
		SN		35	53			
		Se		35	52			
		LN		35	56			
		eLe		35	56			
		FN		38	38			

Número de orden	Fecha	Fase	Tiempo medio de Greenwich			Período	Amplitud AN	OBSERVACIONES
			h	m	s			
117	9-10	PN	22	15	29	27 25	Sentido en Bengala (India inglesa).	
		PE		15	29			
		PZ		15	26			
		SN		24	58			
		SE		24	50			
		LN		38	16			
		eLE		40				
		MN		46	28			
		ME		46	28			
FN	0	$\frac{3}{4}$						
118	10	eLN	9	51		12		
		eLE		50				
		MN		58	50			
		FN	10	$\frac{1}{2}$				
119	11	PN	9	12	59	12		
		PE		12	59			
		SN		16	59			
		SE		16	47			
		LN		18	26			
		MN		21	34			
FN	9	$\frac{3}{4}$						
120	12	eLN	13	17				
		FN	13	$\frac{1}{2}$				
121	14	eLN	13	31		12		
		MN		40	32			
122	16	eN	17	13	00	20 17		
		eLN		35				
		eLE		42				
		MN		55	23			
		ME		56	24			
		FN	19	$\frac{1}{2}$				
123	17	ePe	7	17	04	13 12	Destructor. Sentido en Buynurd, provincia de Khorasam (Persia).	
		eSN		23	49			
		SE		23	55			
		eLN		31				
		eLE		35				
		MN		43	07			
		ME		43	06			
FN	8	$\frac{1}{2}$						
124	21	?PN	20	10		13 15		
		eLN		32				
		eLE		33				
		MN		35	50			
		ME		35	32			
		FN	20	$\frac{3}{4}$				
125	22	PN	20	56	12	18 8	Sentido en Kirman y Bafk (Persia).	
		PE		56	11			
		SN	21	02	58			
		SN		03	00			
		LN		06	39			
		LE		06	38			
		MN		19	49			
		ME		07	10			
FN	22	$\frac{1}{4}$						
126	26	ePN	2	18	00	12		
		eLN		52				
		MN	3	00	27			
		FN	3	20				
127	26	eLN	9	13		17		
		MN		18	37			
		FN	9	$\frac{3}{4}$				
128	30	PN	1	26	20	17 8		
		PE		26	20			
		SN		30	44			
		SE		30	43			
		?LN		32	59			
		LE		31	34			
		MN		33	06			
		ME		44	44			
		FN	3	$\frac{1}{4}$				

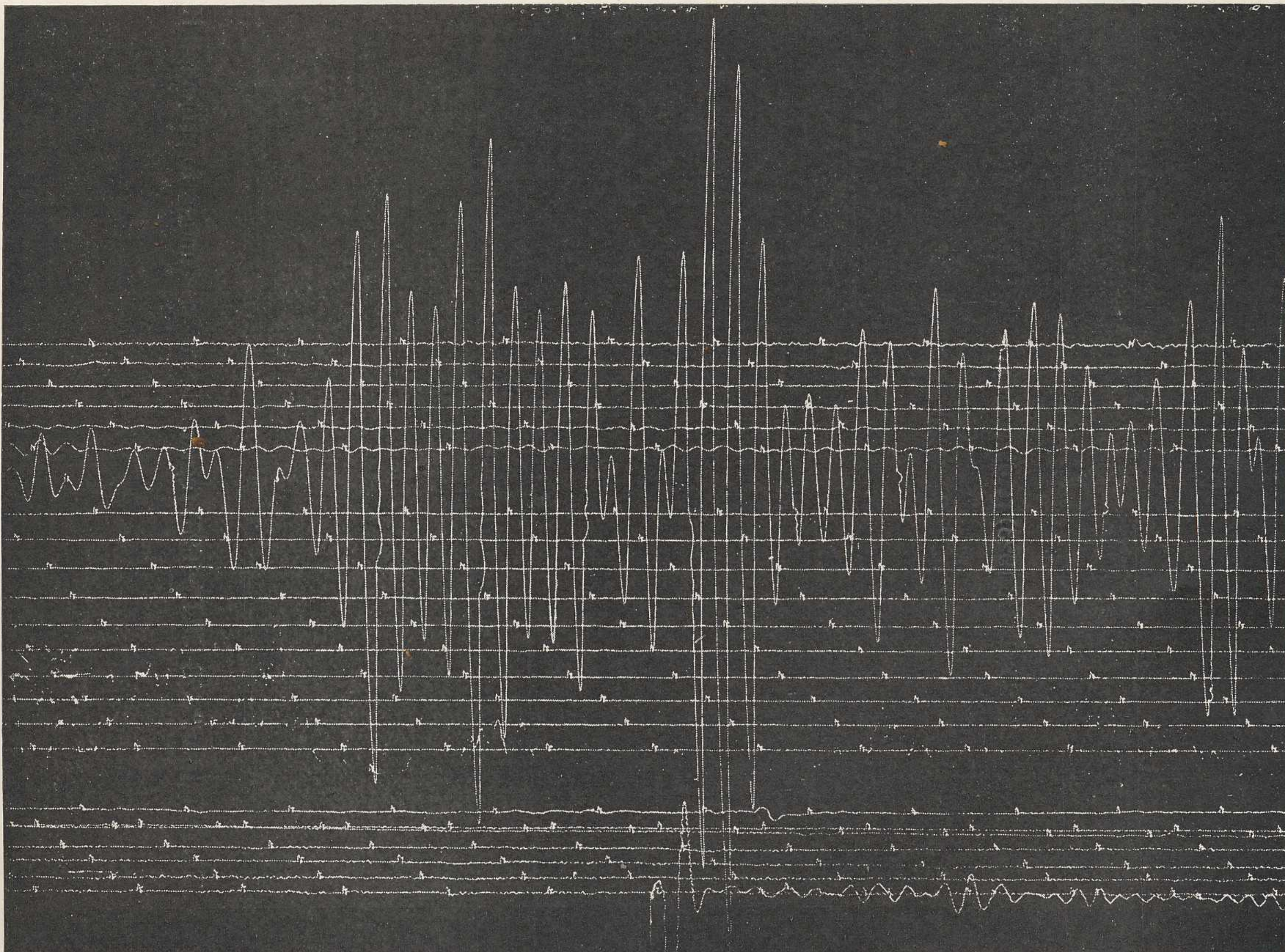
Terremoto n. 111 (2-IX-1923)
registrado por el sismógrafo principal K_n . (C. H. = $-3^s 2$)



La flecha indica el principio del registro



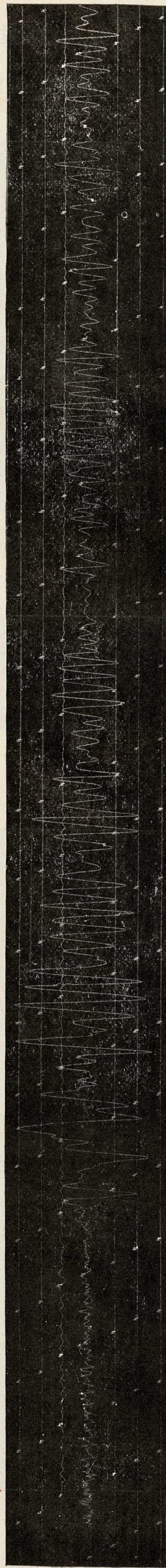
Segunda fase



Fase máxima



Terremoto n.º 125 (22-IX-1923) registrado por el sismógrafo principal Kn. El trazo horario que precede al registro corresponde a 20^h 56^m (C. H. = -- 0^s 7)



Terremoto n.º 128 (30-IX-1923) registrado por el sismógrafo principal Kn. El trazo horario que precede al registro corresponde a 1^h 26^m (C. H. = -- 1^s 2)